LABORATORIUM BADAWCZE PEM

Laboratorium EMVO Sp. J. Urbański, Pawelak
ul. Jasna 1 00-013 Warszawa

Laboratorium EMVO
ul. Mostowa 1, 80-778 Gdańsk

AB 1630

Sprawozdanie z pomiarów pól elektromagnetycznych - środowisko
nr 11/11/OŚ/2026 - TLP - W



Nr i nazwa stacji	**BT12191_OSTROWIEC ŚWIĘTOKRZYSKI-WIEŻA**	
Adres	**Ostrowiec Świętokrzyski, dz. nr 10/7, obr. 0032, gm. Ostrowiec Świętokrzyski, pow. ostrowiecki, woj. ŚWIĘTOKRZYSKIE**	
Opracowanie	[redacted]	**Specjalista ds. opracowań**
Autoryzacja		**Kierownik Laboratorium**
Podpis	[redacted]	
Data	**2026-11-16**	

„Bez pisemnej zgody Laboratorium niniejsze sprawozdanie nie może być powielane inaczej, jak tylko w całości. Ponadto wyniki dotyczą tylko badanych obiektów przywołanych w niniejszym sprawozdaniu z badań”

Spis treści

1. Informacje ogólne.....3
2. Podstawa prawna. 3
3. Opis pomiarów.....4
4. Zróżnicowanie dopuszczalne poziomy pól elektromagnetycznych. 5
5. Charakterystyka źródeł PEM.....6
6. Wyniki pomiarów.....7
7. Stwierdzenie zgodności 10
8. Oświadczenie. 11
9. Spis załączników. 11

„Bez pisemnej zgody Laboratorium niniejsze sprawozdanie nie może być powielane inaczej, jak tylko w całości. Ponadto wyniki dotyczą tylko badanych obiektów przywołanych w niniejszym sprawozdaniu z badań”

1. Informacje ogólne.

Zleceniodawca – podmiot udzielający informacji	**TOWERLINK POLAND Sp. z o. o.,** ul. Marcina Kasprzaka 4, 01-211 Warszawa
Istotne informacje dostarczone przez klienta	komplet informacji niezbędnych do wykonania pomiarów i opracowania sprawozdania
Dane otrzymane od klienta mogące mieć wpływ na ważność wyników	Dane anten sektorowych, dane anten radioliniowych, parametry pracy instalacji (w tym moce EIRP), ustawienie pochylenia anten, nazwa/nr obiektu, lokalizacja (adres) instalacji, współrzędne geograficzne instalacji
Prowadzący instalację	**TOWERLINK POLAND Sp. z o. o., ul. Marcina Kasprzaka 4, 01-211 Warszawa**
Lokalizacja obiektu	Ostrowiec Świętokrzyski, dz. nr 10/7, obr. 0032, gm. Ostrowiec Świętokrzyski, pow. ostrowiecki, woj. ŚWIĘTOKRZYSKIE
Miejsce instalacji anten	Wieża kratowa
Miejsce instalacji urządzeń	Outdoor
Osoby wykonujące pomiar	[redacted]
Data wykonania pomiaru	16.11.2026
Temperatura na początku pomiaru [°C]	7,0
Temperatura na koniec pomiaru [°C]	8,0
Warunki atmosferyczne	Brak opadów
Wilgotność na początku pomiaru [%]	74,9
Wilgotność na koniec pomiaru [%]	70,0
Godzina na początku pomiaru	11:19
Godzina na koniec pomiaru	13:20
Inne źródła pól elektromagnetycznych oznaczone na załączniku graficznym	Występują
Parametry pracy instalacji – informacja od klienta	Tryb eksploatacyjny

2. Podstawa prawna.

2.1 Normy i rozporządzenia:

- Ustawa z dnia 27 kwietnia 2001 r. Prawo Ochrony Środowiska (Dz.U. 2026 poz. 1453)
- Rozporządzenia Ministra Zdrowia z dnia 17 grudnia 2019 r. w sprawie dopuszczalnych poziomów pól elektromagnetycznych w środowisku (Dz. U. z 2019 r., poz. 2448),
- Rozporządzenie Ministra Klimatu z dnia 17.02.2020 r. w sprawie sposobów sprawdzania dotrzymania dopuszczalnych poziomów pól elektromagnetycznych w środowisku (Dz. U. z 2022 r., poz. 2630).

„Bez pisemnej zgody Laboratorium niniejsze sprawozdanie nie może być powielane inaczej, jak tylko w całości. Ponadto wyniki dotyczą tylko badanych obiektów przywołanych w niniejszym sprawozdaniu z badań”

3. Opis pomiarów

Metodologia pomiarowa	Pomiary w oparciu o Rozporządzenie Ministra Klimatu z dnia 17 lutego 2020 r. w sprawie sposobów sprawdzania dotrzymania dopuszczalnych poziomów pól elektromagnetycznych w środowisku (Dz.U. 2022 poz. 2630).
Cel badań	Sprawdzenie dotrzymania dopuszczalnych poziomów pól elektromagnetycznych w środowisku.
Opis zestawu pomiarowego	Miernik Narda NBM 550 nr H-1154 - 45/WL, Sonda EF-9091 nr A-0104 - 46/WL, o zakresie pomiarowym 0,7 V/m - 300V/m pracująca w paśmie 0,1 – 90 GHz, świadectwo wydane przez Laboratorium Wzorców i Metrologii Pola Elektromagnetycznego, Instytut Telekomunikacji, Teleinformatyki i Akustyki Politechniki Wrocławskiej. Świadectwo wzorcowania LWiMP/W/296/26 ważne do 11.06.2028. Miernik Narda NBM 550, Sonda EF-9091 pracująca w zakresie temperatury -10°C +50°C oraz wilgotności 5% - 95%. Niepewność rozszerzona 55,6% przy poziomie ufności 95% z uwzględnieniem współczynnika rozszerzenia k=2.
Wyposażenie pomocnicze	Termohigrometr Termik+S nr 1360823 – WL/52. Sprawdzany okresowo. Dalmierz laserowy BOSCH Professional GLM 40 nr 328411705 - 58/WL. Sprawdzany okresowo. GPS Garmin 65 nr 6QA008971 - WL/56. Sprawdzany okresowo w punktach osnowy geodezyjnej, zgodnie z procedurą laboratorium PZ-6.5 sprawdzanie wewnętrzne WL.
Procedura doboru pionów pomiarowych	Laboratorium przed przystąpieniem do pomiarów wykonało obliczenia rozkładu pól elektromagnetycznych pochodzących od badanej instalacji (z wykorzystaniem superpozycji charakterystyk propagacyjnych (od producenta anten) dla zastosowanych anten z uwzględnieniem topografii terenu, aktualnej zabudowy usługowo-mieszkaniowej oraz parametrów pracy urządzeń i anten otrzymanych od zleceniodawcy, przyjęło strategię pomiarową doboru pionów pomiarowych w oparciu o wykonane obliczenia oraz sporządzony dokument Analiza Obszaru Pomiarowego.
Odległość, do której zostały wykonane pomiary	Pomiary zostały wykonane do odległości, dla której, na podstawie uprzednio przeprowadzonych obliczeń, stwierdzono w miejscach dostępnych dla ludności występowanie pól elektromagnetycznych o najwyższym poziomie, które pochodzą z badanej instalacji.
Pomiary zostały wykonane	1. w miejscach dostępnych dla ludności, w szczególności w tych miejscach, w których, na podstawie uprzednio przeprowadzonych obliczeń, stwierdzono występowanie w danych zakresach częstotliwości pól elektromagnetycznych o poziomach zbliżonych do poziomów dopuszczalnych, określonych w przepisach wydanych na podstawie art. 122 ust. 1 ustawy z dnia 27 kwietnia 2001 r. – Prawo ochrony środowiska. 2. na obszarze pomiarowym, dla którego, na podstawie uprzednio przeprowadzonych obliczeń stwierdzono w miejscach dostępnych dla ludności występowanie pól elektromagnetycznych o najwyższym poziomie, które pochodzą z badanej instalacji zgodnie z wymaganiami pkt 5 ppkt 2 oraz pkt 13 ppkt 1 Rozporządzenia Ministra Klimatu z dnia 17 lutego 2020 r. w sprawie sposobów sprawdzania dotrzymania dopuszczalnych poziomów pól elektromagnetycznych w środowisku

„Bez pisemnej zgody Laboratorium niniejsze sprawozdanie nie może być powielane inaczej, jak tylko w całości. Ponadto wyniki dotyczą tylko badanych obiektów przywołanych w niniejszym sprawozdaniu z badań”

(Dz.U. 2022 poz. 2630). Wyniki obliczeń nie uwzględniały parametrów pracy instalacji innych operatorów występujących na obiekcie bądź w obszarze pomiarowym.

3. na głównych i pomocniczych kierunkach pomiarowych, na kierunkach zbliżonych do azymutów anten oraz w dodatkowych pionach pomiarowych zgodnie z wymaganiami pkt 13, 14 i 19 Rozporządzenia Ministra Klimatu z dnia 17 lutego 2020 r. (Dz.U. 2022 poz. 2630).
4. miejsca niedostępne podczas wykonywania pomiarów wskazane zostały w pkt 6 (tabeli wyniki pomiarów)
5. w dodatkowych pionach pomiarowych w lokalach oraz na balkonach i tarasach, na których mogą przebywać ludzie, po poinformowaniu o planowanych pomiarach z minimum 3-dniowym wyprzedzeniem i po umożliwieniu dostępu do lokalu, balkonu lub tarasu przez jego dysponenta lub bez zachowania terminu wskazanego w pierwszej części zdania za zgodą dysponenta przestrzeni pomiarowej.

Dobór dodatkowych pionów pomiarowych w lokalach oraz na balkonach i tarasach	Dodatkowe piony pomiarowe w lokalach, na balkonach i tarasach zostały wybrane zgodnie z procedurą laboratorium nr PP 7.3/7.4/7.5-11 drogą metod obliczeniowych, z uwzględnieniem: rodzaju badanej instalacji (w tym parametrów technicznych instalacji), lokalizacji badanej instalacji, ukształtowania terenu wokół badanej instalacji. Na podstawie obliczeń nie stwierdzono w lokalach, na balkonach i tarasach wartości nie mniejszych niż poziomów dopuszczalnych określonych w przepisach wydanych na podstawie art. 122 ust. 1 ustawy z dnia 27 kwietnia 2001 r. – Prawo ochrony środowiska.
Sposób powiadamiania dysponentów	Zgodnie z pkt 14 Rozporządzenia Ministra Klimatu z dnia 17 lutego 2020 r. w sprawie sposobów sprawdzania dotrzymania dopuszczalnych poziomów pól elektromagnetycznych w środowisku (Dz.U. 2022 poz. 2630). Informacji dokonuje się poprzez rządowy portal internetowy SI2PEM (https://si2pem.gov.pl) lub zawiadomienie spółdzielni mieszkaniowej, zarządcy nieruchomości, zarządu wspólnoty, umieszczenie informacji o planowanych pomiarach na tablicach ogłoszeń w klatkach schodowych bloków lub na drzwiach wejściowych, przekazanie zawiadomienia do administracji lub recepcji obiektu, pozostawienie informacji w skrzynkach pocztowych itp. lub przekazanie osobiste.
Warunki pracy urządzeń nadawczych	Tryb pracy eksploatacyjny.

4. Zróżnicowanie dopuszczalne poziomy pól elektromagnetycznych.

Zakresy znajdują się w Dzienniku Ustaw z dnia 17 grudnia 2019 r. przestawione są w tabeli nr 2 (Dz. U. z 2019r. poz. 2448).

Parametr fizyczny / Zakres Częstotliwości pola elektromagnetycznego	Składowa elektryczna E (V/m)	Składowa magnetyczna H (A/m)	Gęstość mocy S (W/m2)
od 400 MHz do 2000 MHz	$1{,}375 \times f^{0,5}$	$0{,}0037 \times f^{0,5}$	f / 200
od 2 GHz do 300 GHz	61	0,16	10

„Bez pisemnej zgody Laboratorium niniejsze sprawozdanie nie może być powielane inaczej, jak tylko w całości. Ponadto wyniki dotyczą tylko badanych obiektów przywołanych w niniejszym sprawozdaniu z badań”

5. Charakterystyka źródeł PEM.

Zgodnie z informacja otrzymaną od Klienta pomiary zostały wykonane przy ustawieniach pochylenia anten zgodnych z pkt. 13, ppkt 2 Rozporządzenia Ministra Klimatu z dnia 17 lutego 2020 roku.

Tabela 1. Anteny sektorowe – dane otrzymane od klienta.

Typ anteny	Współrzędne geograficzne	Az. m. [°]	Az. el. [°]	Wys. [m]	Pasmo [MHz]	Tilt el. [°]	Tilt mech. [°]	Moc EIRP [W]	Suma EIRP [W]
80010647V01	50°56'19.01"N, 21°25'33.71"E	70	70	49,35	900	0-8	0	5988	5988
80010647V01	50°56'19.01"N, 21°25'33.71"E	170	170	49,35	900	0-8	0	5958	5958
80010647V01	50°56'19.01"N, 21°25'33.71"E	325	325	49,35	900	0-8	0	6951	6951
ADU451902	50°56'19.01"N, 21°25'33.71"E	60	60	35,5	2100	0-6	0	1556	1556
ADU451902	50°56'19.01"N, 21°25'33.71"E	170	170	35,5	2100	0-6	0	1556	1556
ADU451902	50°56'19.01"N, 21°25'33.71"E	300	300	35,5	2100	0-6	0	1556	1556
80010656	50°56'19.01"N, 21°25'33.71"E	60	30	36	1800	2-6	0	4060	6589
		60	30	36	2600	2-6	0	2529	
80010656	50°56'19.01"N, 21°25'33.71"E	60	90	36	1800	2-6	0	4060	6589
		60	90	36	2600	2-6	0	2529	
80010656	50°56'19.01"N, 21°25'33.71"E	180	150	36	1800	2-6	0	4060	6589
		180	150	36	2600	2-6	0	2529	
80010656	50°56'19.01"N, 21°25'33.71"E	180	210	36	1800	2-5	0	4060	6589
		180	210	36	2600	2-5	0	2529	
80010656	50°56'19.01"N, 21°25'33.71"E	300	270	36	1800	2-6	0	4060	6589
		300	270	36	2600	2-6	0	2529	
80010656	50°56'19.01"N, 21°25'33.71"E	300	330	36	1800	2-6	0	4060	6589
		300	330	36	2600	2-6	0	2529	
80010651	50°56'19.01"N, 21°25'33.71"E	60	60	36	2600	0-6	0	6728	6728
80010651	50°56'19.01"N, 21°25'33.71"E	180	180	36	2600	0-6	0	6728	6728
80010651	50°56'19.01"N, 21°25'33.71"E	300	300	36	2600	0-6	0	6728	6728
B-65B-R1VB	50°56'19.01"N, 21°25'33.71"E	60	60	53	420	0-16	0	791	791
B-65B-R1VB	50°56'19.01"N, 21°25'33.71"E	180	180	53	420	0-16	0	791	791
B-65B-R1VB	50°56'19.01"N, 21°25'33.71"E	300	300	53	420	0-16	0	791	791

„Bez pisemnej zgody Laboratorium niniejsze sprawozdanie nie może być powielane inaczej, jak tylko w całości. Ponadto wyniki dotyczą tylko badanych obiektów przywołanych w niniejszym sprawozdaniu z badań”

Tabela 2. Anteny radioliniowe – dane otrzymane od klienta.

Typ anteny	Współrzędne geograficzne	Azymut [°]	Średnica [m]	Pasmo [GHz]	Zysk [dBi]	Moc [dBm]	EIRP [W]	Wysokość [m]
ANT3 C 0.6 80 HP	50°56'19.01"N, 21°25'33.71"E	3	0,6	80	50.5	21	14125	58
ANT2 C 0.6 80 HP	50°56'19.01"N, 21°25'33.71"E	34	0,6	80	50.5	10	1122	58
VHLPX4-23	50°56'19.01"N, 21°25'33.71"E	45	1,2	23	46.7	21	5888	59
VHLP2-38	50°56'19.01"N, 21°25'33.71"E	78	0,6	38	45.2	9	263	68
A23D12MAC-3NX	50°56'19.01"N, 21°25'33.71"E	119	1,2	23	45.6	18	2291	64
A23S80S06CC	50°56'19.01"N, 21°25'33.71"E	135	0,6	80	50	16	3981	61,5
A23S80S06CC	50°56'19.01"N, 21°25'33.71"E	135	0,6	23	39.7	18	589	61,5
A80S06MAC-3NX	50°56'19.01"N, 21°25'33.71"E	180	0,6	80	50.5	12	1778	61,5
MA06U80S-ZT1B	50°56'19.01"N, 21°25'33.71"E	236	0,6	80	50.5	9	891	58
VHLP2-80	50°56'19.01"N, 21°25'33.71"E	245	0,6	80	50.5	13	2239	66,7
ANT4 C 1.2 23 HPX	50°56'19.01"N, 21°25'33.71"E	253	1,2	23	46.1	21	5129	61,5
A80S06MAC-3NX	50°56'19.01"N, 21°25'33.71"E	286	0,6	80	50.5	12	1778	74
A80S06MAC-3NX	50°56'19.01"N, 21°25'33.71"E	296	0,6	80	50.5	10	1122	65
A80S06MAC-3NX	50°56'19.01"N, 21°25'33.71"E	300	0,6	80	50.5	15	3548	58
ANT3 C 0.6 80 HP	50°56'19.01"N, 21°25'33.71"E	317	0,6	80	50.5	21	14125	61,5

6. Wyniki pomiarów.

Wyniki pomiarów pól elektromagnetycznych dla celów ochrony środowiska przedstawia poniższa tabela. Piony pomiarowe zostały przedstawione w zał. 2.

Nr PP	Pole-E [V/m]	Pole-E, +U [V/m]	Pole-H [A/m]	Pole-H +U [A/m]	Wys. pomiaru [m]	Opis pionu	Uwagi	WME	WMH
1	0,9	1,40	0,002	0,004	0,3 - 2,0	50°56'18.86"N 21°25'36.09"E	Otoczenie stacji bazowej - wzdłuż gł. osi promieniowania - GKP	0,050	0,051
2	0,8	1,24	0,002	0,003	0,3 - 2,0	50°56'19.31"N 21°25'36.19"E	Otoczenie stacji bazowej - wzdłuż gł. osi promieniowania - GKP	0,044	0,045
3	0,9	1,40	0,002	0,004	0,3 - 2,0	50°56'19.77"N 21°25'35.97"E	Otoczenie stacji bazowej - wzdłuż gł. osi promieniowania - GKP	0,050	0,051
4	0,9	1,40	0,002	0,004	0,3 - 2,0	50°56'18.92"N 21°25'40.46"E	Otoczenie stacji bazowej - wzdłuż gł. osi promieniowania - GKP	0,050	0,051
5	0,8*	1,24	0,002	0,003	0,3 - 2,0	50°56'18.75"N 21°25'49.19"E	Otoczenie stacji bazowej - wzdłuż gł. osi promieniowania - GKP	0,044	0,045
6	0,8*	1,24	0,002	0,003	0,3 - 2,0	50°56'18.66"N 21°25'51.65"E	Otoczenie stacji bazowej - wzdłuż gł. osi promieniowania - GKP	0,044	0,045
7	0,8	1,24	0,002	0,003	0,3 - 2,0	50°56'19.87"N 21°25'41.22"E	Otoczenie stacji bazowej - wzdłuż gł. osi promieniowania - GKP	0,044	0,045
8	1,1	1,71	0,003	0,005	0,3 - 2,0	50°56'21.28"N 21°25'40.38"E	Otoczenie stacji bazowej - wzdłuż gł. osi promieniowania - GKP	0,061	0,062
9	1,0	1,56	0,003	0,004	0,3 - 2,0	50°56'22.78"N 21°25'44.86"E	Otoczenie stacji bazowej - wzdłuż gł. osi promieniowania - GKP	0,056	0,057
10	0,8	1,24	0,002	0,003	0,3 - 2,0	50°56'24.28"N 21°25'49.44"E	Otoczenie stacji bazowej - wzdłuż gł. osi promieniowania - GKP	0,044	0,045

„Bez pisemnej zgody Laboratorium niniejsze sprawozdanie nie może być powielane inaczej, jak tylko w całości. Ponadto wyniki dotyczą tylko badanych obiektów przywołanych w niniejszym sprawozdaniu z badań”

11	0,9	1,40	0,002	0,004	0,3 - 2,0	50°56'25.91"N 21°25'53.85"E	Otoczenie stacji bazowej - wzdłuż gł. osi promieniowania - GKP	0,050	0,051
12	0,8*	1,24	0,002	0,003	0,3 - 2,0	50°56'26.80"N 21°25'56.78"E	Otoczenie stacji bazowej - wzdłuż gł. osi promieniowania - GKP	0,044	0,045
13	0,8	1,24	0,002	0,003	0,3 - 2,0	50°56'21.19"N 21°25'37.38"E	Otoczenie stacji bazowej - wzdłuż gł. osi promieniowania - GKP	0,044	0,045
14	0,9	1,40	0,002	0,004	0,3 - 2,0	50°56'21.74"N 21°25'36.73"E	Otoczenie stacji bazowej - wzdłuż gł. osi promieniowania - GKP	0,050	0,051
15	0,9	1,40	0,002	0,004	0,3 - 2,0	50°56'21.88"N 21°25'36.26"E	Otoczenie stacji bazowej - wzdłuż gł. osi promieniowania - GKP	0,050	0,051
16	0,8	1,24	0,002	0,003	0,3 - 2,0	50°56'22.18"N 21°25'39.20"E	Otoczenie stacji bazowej - wzdłuż gł. osi promieniowania - GKP	0,044	0,045
17	0,9	1,40	0,002	0,004	0,3 - 2,0	50°56'25.86"N 21°25'40.39"E	Otoczenie stacji bazowej - wzdłuż gł. osi promieniowania - GKP	0,050	0,051
18	0,9	1,40	0,002	0,004	0,3 - 2,0	50°56'20.48"N 21°25'41.01"E	Otoczenie stacji bazowej - wzdłuż gł. osi promieniowania - GKP	0,050	0,051
19	0,9	1,40	0,002	0,004	0,3 - 2,0	50°56'21.92"N 21°25'48.05"E	Otoczenie stacji bazowej - wzdłuż gł. osi promieniowania - GKP	0,050	0,051
20	0,9	1,40	0,002	0,004	0,3 - 2,0	50°56'23.06"N 21°25'53.26"E	Otoczenie stacji bazowej - wzdłuż gł. osi promieniowania - GKP	0,050	0,051
21	0,8*	1,24	0,002	0,003	0,3 - 2,0	50°56'23.85"N 21°25'34.39"E	Otoczenie stacji bazowej - wzdłuż gł. osi promieniowania - GKP	0,044	0,045
22	1,0	1,56	0,003	0,004	0,3 - 2,0	50°56'20.35"N 21°25'32.28"E	Otoczenie stacji bazowej - wzdłuż gł. osi promieniowania - GKP	0,056	0,057
23	0,9	1,40	0,002	0,004	0,3 - 2,0	50°56'20.58"N 21°25'34.08"E	Otoczenie stacji bazowej - wzdłuż gł. osi promieniowania - GKP	0,050	0,051
24	1,1	1,71	0,003	0,005	0,3 - 2,0	50°56'23.12"N 21°25'29.86"E	Otoczenie stacji bazowej - wzdłuż gł. osi promieniowania - GKP	0,061	0,062
25	0,8*	1,24	0,002	0,003	0,3 - 2,0	50°56'29.66"N 21°25'24.62"E	Otoczenie stacji bazowej - wzdłuż gł. osi promieniowania - GKP	0,044	0,045
26	0,8*	1,24	0,002	0,003	0,3 - 2,0	50°56'29.96"N 21°25'22.49"E	Otoczenie stacji bazowej - wzdłuż gł. osi promieniowania - GKP	0,044	0,045
27	0,8*	1,24	0,002	0,003	0,3 - 2,0	50°56'32.74"N 21°25'19.44"E	Otoczenie stacji bazowej - wzdłuż gł. osi promieniowania - GKP	0,044	0,045
28	0,9	1,40	0,002	0,004	0,3 - 2,0	50°56'33.23"N 21°24'57.43"E	Otoczenie stacji bazowej - wzdłuż gł. osi promieniowania - GKP	0,050	0,051
29	0,9	1,40	0,002	0,004	0,3 - 2,0	50°56'30.82"N 21°25'03.51"E	Otoczenie stacji bazowej - wzdłuż gł. osi promieniowania - GKP	0,050	0,051
30	0,8	1,24	0,002	0,003	0,3 - 2,0	50°56'29.28"N 21°25'07.59"E	Otoczenie stacji bazowej - wzdłuż gł. osi promieniowania - GKP	0,044	0,045
31	0,8*	1,24	0,002	0,003	0,3 - 2,0	50°56'26.65"N 21°25'14.20"E	Otoczenie stacji bazowej - wzdłuż gł. osi promieniowania - GKP	0,044	0,045
32	0,8*	1,24	0,002	0,003	0,3 - 2,0	50°56'23.23"N 21°25'22.87"E	Otoczenie stacji bazowej - wzdłuż gł. osi promieniowania - GKP	0,044	0,045
33	0,8*	1,24	0,002	0,003	0,3 - 2,0	50°56'19.56"N 21°25'31.13"E	Otoczenie stacji bazowej - wzdłuż gł. osi promieniowania - GKP	0,044	0,045
34	0,8*	1,24	0,002	0,003	0,3 - 2,0	50°56'19.89"N 21°25'31.54"E	Otoczenie stacji bazowej - wzdłuż gł. osi promieniowania - GKP	0,044	0,045
35	0,8	1,24	0,002	0,003	0,3 - 2,0	50°56'19.06"N 21°25'31.71"E	Otoczenie stacji bazowej - wzdłuż gł. osi promieniowania - GKP	0,044	0,045
36	0,8*	1,24	0,002	0,003	0,3 - 2,0	50°56'17.68"N 21°25'26.25"E	Otoczenie stacji bazowej - wzdłuż gł. osi promieniowania - GKP	0,044	0,045

„Bez pisemnej zgody Laboratorium niniejsze sprawozdanie nie może być powielane inaczej, jak tylko w całości. Ponadto wyniki dotyczą tylko badanych obiektów przywołanych w niniejszym sprawozdaniu z badań”

37	0,8*	1,24	0,002	0,003	0,3 - 2,0	50°56'17.17"N 21°25'26.69"E	Otoczenie stacji bazowej - wzdłuż gł. osi promieniowania - GKP	0,044	0,045
38	0,8*	1,24	0,002	0,003	0,3 - 2,0	50°56'16.45"N 21°25'27.12"E	Otoczenie stacji bazowej - wzdłuż gł. osi promieniowania - GKP	0,044	0,045
39	0,8*	1,24	0,002	0,003	0,3 - 2,0	50°56'20.40"N 21°25'26.87"E	Otoczenie stacji bazowej - wzdłuż gł. osi promieniowania - GKP	0,044	0,045
40	0,9	1,40	0,002	0,004	0,3 - 2,0	50°56'20.99"N 21°25'27.47"E	Otoczenie stacji bazowej - wzdłuż gł. osi promieniowania - GKP	0,050	0,051
41	0,9	1,40	0,002	0,004	0,3 - 2,0	50°56'21.29"N 21°25'27.77"E	Otoczenie stacji bazowej - wzdłuż gł. osi promieniowania - GKP	0,050	0,051
42	0,8	1,24	0,002	0,003	0,3 - 2,0	50°56'19.15"N 21°25'25.92"E	Otoczenie stacji bazowej - wzdłuż gł. osi promieniowania - GKP	0,044	0,045
43	0,8*	1,24	0,002	0,003	0,3 - 2,0	50°56'19.35"N 21°25'15.75"E	Otoczenie stacji bazowej - wzdłuż gł. osi promieniowania - GKP	0,044	0,045
44	0,8*	1,24	0,002	0,003	0,3 - 2,0	50°56'16.08"N 21°25'30.84"E	Otoczenie stacji bazowej - wzdłuż gł. osi promieniowania - GKP	0,044	0,045
45	0,8*	1,24	0,002	0,003	0,3 - 2,0	50°56'11.70"N 21°25'26.65"E	Otoczenie stacji bazowej - wzdłuż gł. osi promieniowania - GKP	0,044	0,045
46	0,8*	1,24	0,002	0,003	0,3 - 2,0	50°56'08.53"N 21°25'23.34"E	Otoczenie stacji bazowej - wzdłuż gł. osi promieniowania - GKP	0,044	0,045
47	0,8*	1,24	0,002	0,003	0,3 - 2,0	50°56'05.88"N 21°25'32.82"E	Otoczenie stacji bazowej - wzdłuż gł. osi promieniowania - GKP	0,044	0,045
48	0,8*	1,24	0,002	0,003	0,3 - 2,0	50°56'06.75"N 21°25'36.18"E	Otoczenie stacji bazowej - wzdłuż gł. osi promieniowania - GKP	0,044	0,045
49	0,8*	1,24	0,002	0,003	0,3 - 2,0	50°56'09.15"N 21°25'33.15"E	Otoczenie stacji bazowej - wzdłuż gł. osi promieniowania - GKP	0,044	0,045
50	0,8*	1,24	0,002	0,003	0,3 - 2,0	50°56'12.63"N 21°25'35.00"E	Otoczenie stacji bazowej - wzdłuż gł. osi promieniowania - GKP	0,044	0,045
51	0,8*	1,24	0,002	0,003	0,3 - 2,0	50°56'15.91"N 21°25'33.32"E	Otoczenie stacji bazowej - wzdłuż gł. osi promieniowania - GKP	0,044	0,045
52	0,8*	1,24	0,002	0,003	0,3 - 2,0	50°56'15.65"N 21°25'34.29"E	Otoczenie stacji bazowej - wzdłuż gł. osi promieniowania - GKP	0,044	0,045
53	0,9	1,40	0,002	0,004	0,3 - 2,0	50°56'14.65"N 21°25'37.29"E	Otoczenie stacji bazowej - wzdłuż gł. osi promieniowania - GKP	0,050	0,051
54	0,9	1,40	0,002	0,004	0,3 - 2,0	50°56'11.77"N 21°25'39.61"E	Otoczenie stacji bazowej - wzdłuż gł. osi promieniowania - GKP	0,050	0,051
55	0,9	1,40	0,002	0,004	0,3 - 2,0	50°56'08.68"N 21°25'42.17"E	Otoczenie stacji bazowej - wzdłuż gł. osi promieniowania - GKP	0,050	0,051
56	0,8*	1,24	0,002	0,003	0,3 - 2,0	50°56'15.85"N 21°25'38.47"E	Otoczenie stacji bazowej - wzdłuż gł. osi promieniowania - GKP	0,044	0,045
57	0,9	1,40	0,002	0,004	0,3 - 2,0	50°56'16.52"N 21°25'40.27"E	Otoczenie stacji bazowej - wzdłuż gł. osi promieniowania - GKP	0,050	0,051
A	0,9	1,40	0,002	0,004	0,3 - 2,0	50°56'17.79"N 21°25'44.47"E	ul. Samsonowicza 31, teren posesji, pomiar przed drzwiami wejściowymi – DPP	0,050	0,051
B	0,9	1,40	0,002	0,004	0,3 - 2,0	50°56'24.67"N 21°25'49.92"E	ul. Metalurgów 3, pomiar przed ogrodzeniem posesji, przy bramie wejściowej – DPP	0,050	0,051
C	0,9	1,40	0,002	0,004	0,3 - 2,0	50°56'26.23"N 21°25'53.94"E	ul. Metalurgów 5, pomiar przed ogrodzeniem posesji, przy bramie wejściowej – DPP	0,050	0,051
D	1,1	1,71	0,003	0,005	0,3 - 2,0	50°56'25.34"N 21°25'42.22"E	ul. Samsonowicza 6, teren posesji, pomiar przed drzwiami wejściowymi – DPP	0,061	0,062

„Bez pisemnej zgody Laboratorium niniejsze sprawozdanie nie może być powielane inaczej, jak tylko w całości. Ponadto wyniki dotyczą tylko badanych obiektów przywołanych w niniejszym sprawozdaniu z badań”

E	1,1	1,71	0,003	0,005	0,3 - 2,0	50°56'23.86"N 21°25'29.12"E	ul. Tomaszów 97, parter, pomiar na zewnątrz otworu okiennego – DPP	0,061	0,062
F	0,9	1,40	0,002	0,004	0,3 - 2,0	50°56'33.95"N 21°24'56.46"E	ul. Sikorskiego 76, pomiar przed ogrodzeniem posesji, przy bramie wejściowej – DPP	0,050	0,051
G	0,8	1,24	0,002	0,003	0,3 - 2,0	50°56'32.40"N 21°24'57.75"E	ul. Sikorskiego 79, pomiar przed ogrodzeniem posesji, przy bramie wejściowej – DPP	0,044	0,045
H	0,9	1,40	0,002	0,004	0,3 - 2,0	50°56'29.68"N 21°25'04.88"E	ul. Ogrodowa 174a, pomiar przed ogrodzeniem posesji, przy bramie wejściowej – DPP	0,050	0,051
I	1,1	1,71	0,003	0,005	0,3 - 2,0	50°56'20.76"N 21°25'26.97"E	ul. Tomaszów 93, pomiar przed ogrodzeniem posesji, przy bramie wejściowej – DPP	0,061	0,062
J	1,1	1,71	0,003	0,005	0,3 - 2,0	50°56'19.55"N 21°25'22.18"E	ul. Tomaszów 85a, parter, pomiar na zewnątrz otworu okiennego – DPP	0,061	0,062
K	0,8*	1,24	0,002	0,003	0,3 - 2,0	50°56'11.26"N 21°25'26.07"E	ul. Tomaszów 50, parter, pomiar na zewnątrz otworu okiennego – DPP	0,044	0,045
L	0,8*	1,24	0,002	0,003	0,3 - 2,0	50°56'06.04"N 21°25'38.82"E	ul. Samsonowicza 60, parter, pomiar na zewnątrz otworu okiennego – DPP	0,044	0,045
M	0,8*	1,24	0,002	0,003	0,3 - 2,0	50°56'10.20"N 21°25'34.41"E	ul. Samsonowicza 60, parter, pomiar na zewnątrz otworu okiennego – DPP	0,044	0,045

Wynik pomiaru pole - E [V/m] - maksymalna wartość chwilowa zmierzona w danym pionie pomiarowym (uśredniona na podstawie punktu 11 załącznika do Rozporządzenia Ministra Klimatu z dnia 17 lutego 2020 r. w sprawie sposobów sprawdzania dotrzymania dopuszczalnych poziomów pól elektromagnetycznych w środowisku (Dz.U. 2022 poz. 2630)). Zgodnie z pkt. 7 załącznika do Rozporządzenia Ministra Klimatu z dnia 17 lutego 2020 r. w sprawie sposobów sprawdzania dotrzymania dopuszczalnych poziomów pól elektromagnetycznych w środowisku (Dz.U. 2022 poz. 2630) nie stosuje się poprawek pomiarowych.

Przyjęto najniższą dopuszczalną wartość składowej elektrycznej pola dla objętego pomiarami zakresu częstotliwości $min(ME_{gr})$= 28 V/m oraz składowej magnetycznej $min(MH_{gr})$= 0,073 A/m.

* - wartość zmierzona poniżej zakresu akredytacji. Do obliczeń przyjęto wartość zgodną z dolną granicą akredytowanego zakresu pomiarowego metody.

GKP - główne kierunki pomiarowe

PKP - pomocnicze kierunki pomiarowe

DPP - dodatkowe punkty pomiarowe

PP - pion pomiarowy

U - niepewność pomiarowa rozszerzona, przy poziomie ufności 95%, z uwzględnieniem współczynnika rozszerzenia k=2

WM_E - wartość wskaźnikowa poziomu emisji pól elektromagnetycznych dla miejsc dostępnych dla ludności dla składowej elektrycznej pola

WM_H - wartość wskaźnikowa poziomu emisji pól elektromagnetycznych dla miejsc dostępnych dla ludności dla składowej magnetycznej pola

7. Stwierdzenie zgodności

Na podstawie wytycznych podanych w Rozporządzeniu Ministra Zdrowia z dnia 17 grudnia 2019 r. w sprawie dopuszczalnych poziomów pól elektromagnetycznych w środowisku (Dz.U. 2019 poz. 2448) oraz sposobów sprawdzania dotrzymania tych poziomów zgodnie z Rozporządzeniem Ministra Klimatu z dnia 17 lutego 2020 r. w

„Bez pisemnej zgody Laboratorium niniejsze sprawozdanie nie może być powielane inaczej, jak tylko w całości. Ponadto wyniki dotyczą tylko badanych obiektów przywołanych w niniejszym sprawozdaniu z badań”

sprawie sposobów sprawdzania dotrzymania dopuszczalnych poziomów pól elektromagnetycznych w środowisku (Dz.U. 2022 poz. 2630), dotyczących źródła wymagań, które muszą być spełnione, w oparciu o zasadę podejmowania decyzji zgodną z pkt. 26 Rozporządzenia Ministra Klimatu z dnia 17 lutego 2020 r. (Dz.U. 2022 poz. 2630), na podstawie wyników pomiarów pól elektromagnetycznych wykonanych w dniu 16.11.2026 stwierdzono, że wszystkie wyniki przeprowadzonych pomiarów w danym obszarze pomiarowym oraz wyznaczone na tej postawie wskaźniki WME oraz WMH są mniejsze od wartości dopuszczalnych – zgodnie z przepisami wydanymi na podstawie art. 122 ust. 1 ustawy z dnia 27 kwietnia 2001 r. – Prawo ochrony środowiska – załącznikiem do Rozporządzenia Ministra Klimatu i Środowiska z dnia 17 lutego 2020 r. w sprawie sposobów sprawdzania dotrzymywania dopuszczalnych poziomów pól elektromagnetycznych w środowisku (Dz.U. 2022 poz. 2630, pkt 26).

8. Oświadczenie.

Wyniki badania odnoszą się wyłącznie do badanego obiektu.
Bez pisemnej zgody sprawozdanie nie może być powielane inaczej, jak tylko w całości.
Uwagi i zastrzeżenia przyjmowane są w formie pisemnej.

9. Spis załączników.

Zał. 1. Lokalizacja obiektu.
Zał. 2. Widok pionów pomiarowych
Zał. 3. Załączniki graficzne

Koniec sprawozdania

Zał. 1. Lokalizacja obiektu



Współrzędne geograficzne – informacja od klienta	
długość:	21°25'33.71"E
szerokość:	50°56'19.01"N

„Bez pisemnej zgody Laboratorium niniejsze sprawozdanie nie może być powielane inaczej, jak tylko w całości. Ponadto wyniki dotyczą tylko badanych obiektów przywołanych w niniejszym sprawozdaniu z badań”

Zał. 2. Widok pionów pomiarowych

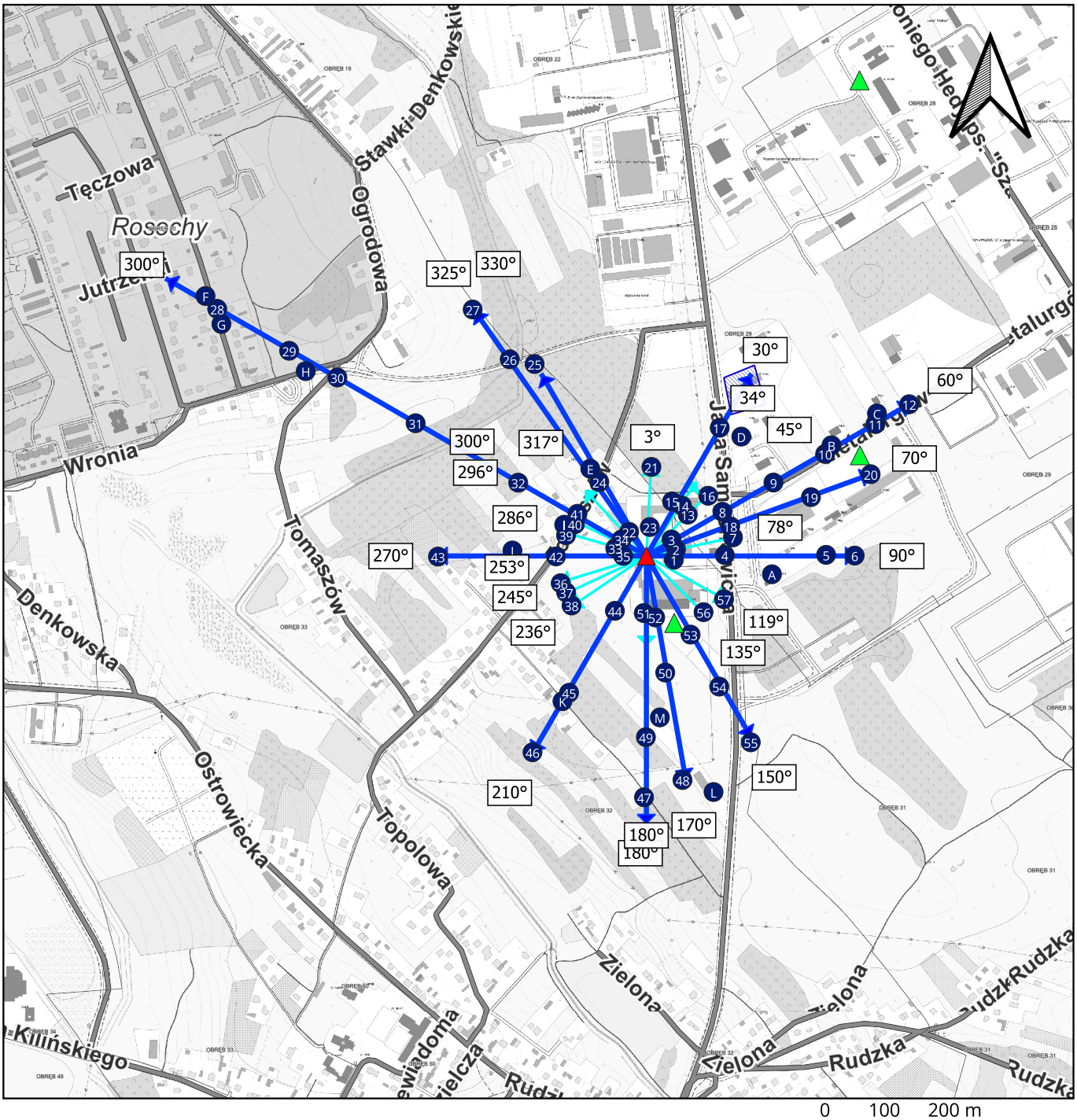

Skala 1:10000

LEGENDA:

- pion pomiarowy
- inna instalacja radiokomunikacyjna
- instalacja radiokomunikacyjna dla której wykonano pomiar
- antena sektorowa
- antena radioliniowa
- brak_dostepu

Pomiary wykonano do odległości:
- dla az. 70° - 400 metrów
- dla az. 170° - 380 metrów
- dla az. 325° - 500 metrów
- dla az. 60° - 510 metrów
- dla az. 300° - 930 metrów
- dla az. 30° - 350 metrów
- dla az. 90° - 350 metrów
- dla az. 150° - 350 metrów
- dla az. 210° - 380 metrów
- dla az. 270° - 350 metrów
- dla az. 330° - 350 metrów
- dla az. 180° - 450 metrów

„Bez pisemnej zgody Laboratorium niniejsze sprawozdanie nie może być powielane inaczej, jak tylko w całości. Ponadto wyniki dotyczą tylko badanych obiektów przywołanych w niniejszym sprawozdaniu z badań”
11/11/OŚ/2026 - TLP - W

Zał. 3. Załączniki graficzne.



„Bez pisemnej zgody Laboratorium niniejsze sprawozdanie nie może być powielane inaczej, jak tylko w całości. Ponadto wyniki dotyczą tylko badanych obiektów przywołanych w niniejszym sprawozdaniu z badań”